

## (40) 高炉レースウェイ回りのガスと固体の運動

名古屋大学 工学部 ○桑原 守 機部浩一  
鞭 嶽

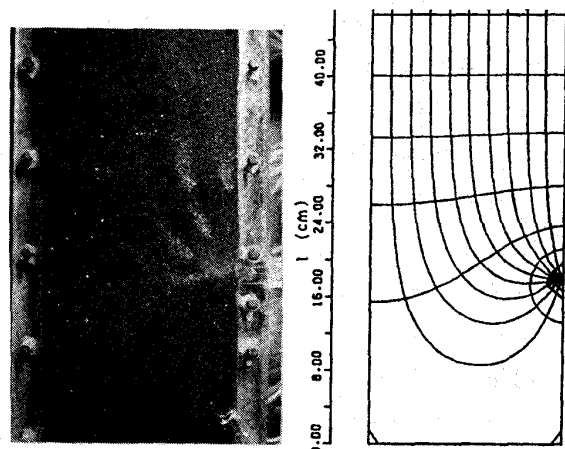
1. 緒言 前報<sup>1)</sup>では、高炉内におけるガスと装入物の運動を流体力学的に解析し、これらが炉内熱交換プロセスに及ぼす効果について検討した。その結果、溶融帯の位置と形状は、炉下部における熱流比の分布に、したがって、ガスと装入物の運動に強く依存することが明らかとなった。本報では、二次元の低温模型による可視化実験によって、レースウェイ回りのガスと固体の運動特性を調べるとともに、それらの運動を記述する方程式について検討した。

2. ガス流れ 実験装置は、アクリル製二次元充填層( $200 \times 15 \times 600 \text{ mm}$ )であり、側面には幅 $6 \text{ mm}$ のスリット状羽口があり、背面には92点の静圧測定端子と5点の水蒸気吹込みズル(外径1中の注射針)が設置してある。充填粒子には、粒度6~8 meshの青色シリカゲルを使用した。

図1(a)は、層高60 cmの粒子層に羽口から空気( $120 \text{ l/min}$ )を、また背面から水蒸気を吹込んだ場合に、シリカゲルの白色化によって可視化されたガス流線を示す。この系の流れ場を数値解析<sup>1), 2)</sup>して得られたガスの流線と等圧線を図1(b)に示す。実測結果と計算値がよく一致することから、羽口面を一つの境界条件とし、レースウェイを空間率の大きな充填層とみなし解析法<sup>1), 2)</sup>の有用性が確認された。

3. 固体粒子の運動 上述の二次元充填層にドライアイスの破碎粒子(6~9 mesh)を充填し、羽口から  $\text{N}_2$ ガス( $90 \text{ l/min}$ )を吹き込んでレースウェイ内部の粒子を昇華させて、その回りの粒子運動を観察した。層頂水平に装入された着色マーカー粒子(6~7 mesh)のタイムライニの経時変化を図2に示す。羽口側の周辺部における粒子は、レースウェイ天井部に向かって降下しており、縮流部における粘性流体の流下挙動に類似している。レースウェイ先端部に形成される炉芯の立ち上り角は $70\sim75^\circ$ 程度であり、かなり大きい。これらの傾向は、ホットモデル<sup>3)</sup>の観察結果にも類似している。

文献 1) 桑原, 高根, 鞭: 鋼と鉄, 65(1979), S565; 2) 桑原, 近松, 立川, 鞭: 鋼と鉄, 64(1978), S5; 3) 羽田野, 平岡, 福田, 増池: 鋼と鉄, 62(1976), S505



(a) 流線の可視化 (b) 数値計算結果  
図1 ガスの流線と等圧線

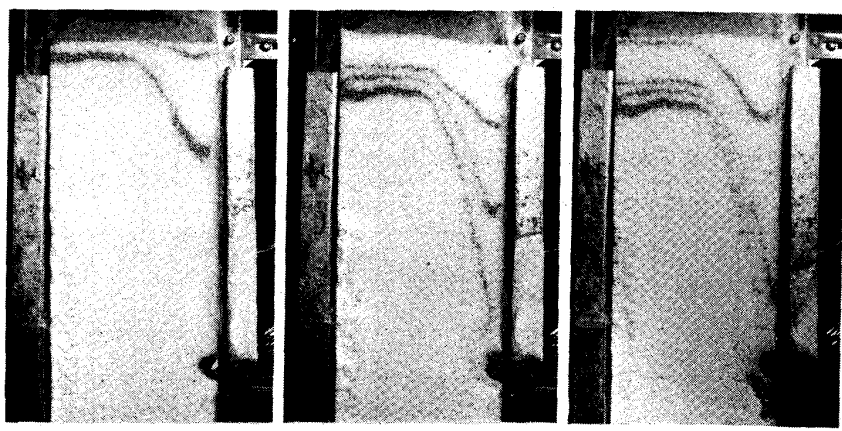


図2 固体粒子の運動のタイムライン